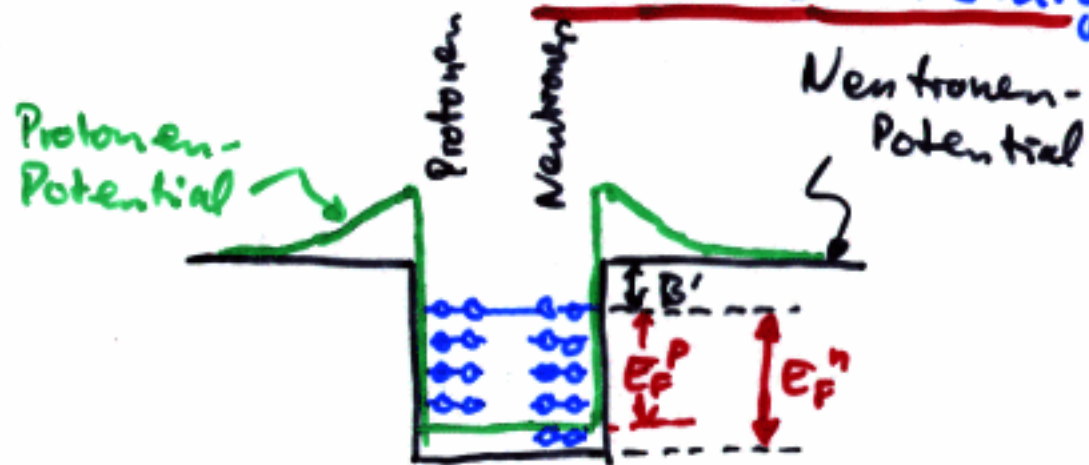


17. Aufbau der Kerne

Nukleonen bewegen sich mit ca. $250 \text{ MeV}/c$ quasi-frei im Kern
schwache Bindung; mittlerer Abstand zwischen Nukleonen \rightarrow Radius der hard core.

\rightarrow Kerne als entartetes Fermigas



Fermi-Impuls $p_F \approx 250 \text{ MeV}/c$

Fermi-Energie $E_F = \frac{p_F^2}{2m}$
 $\approx 33 \text{ MeV}$

Bindungsenergie $B/A \approx 7-8 \text{ MeV}$

\rightarrow Fermi-Gas-Modell beschreibt Volumen-, Coulomb- und Asymmetrie-Term der Weizsäcker-Massenformel.

Fermi-Gas-Modell beschreibt auch Neutronensterne!

Neutronensterne

Coulomb-Energie fehlt; Zusätzlich Gravitation \Rightarrow resultierende Dichte ca 10^x größer

Explosion einer Supernova: ausgebranntes Zentrum eines Sterns, ca. 1-2 Sonnenmassen aus Eisen, bricht durch Gravitation zusammen

Hohe Dichte, Fermi-Energie der Elektronen steigt so hoch, dass inverse β -Zerfall stattfindet: $p + e^- \rightarrow n + \nu_e$, Umkehrreaktion $n \rightarrow p + e^- + \bar{\nu}_e$ durch Pauli-Prinzip verboten:



Implosion wird bei $\rho = 10^{18} \text{ kg/m}^3$ durch Fermidruck der Neutronen gestoppt. Wenn Masse > 2 Sonnenmassen, Gravitation so stark, dass auch dieses nicht standhält \rightarrow SCHWARZES LOCH

Typ. Radius eines Neutronensterns: 10 km

innerer Kern: entartete Neutronen-Flüssigkeit

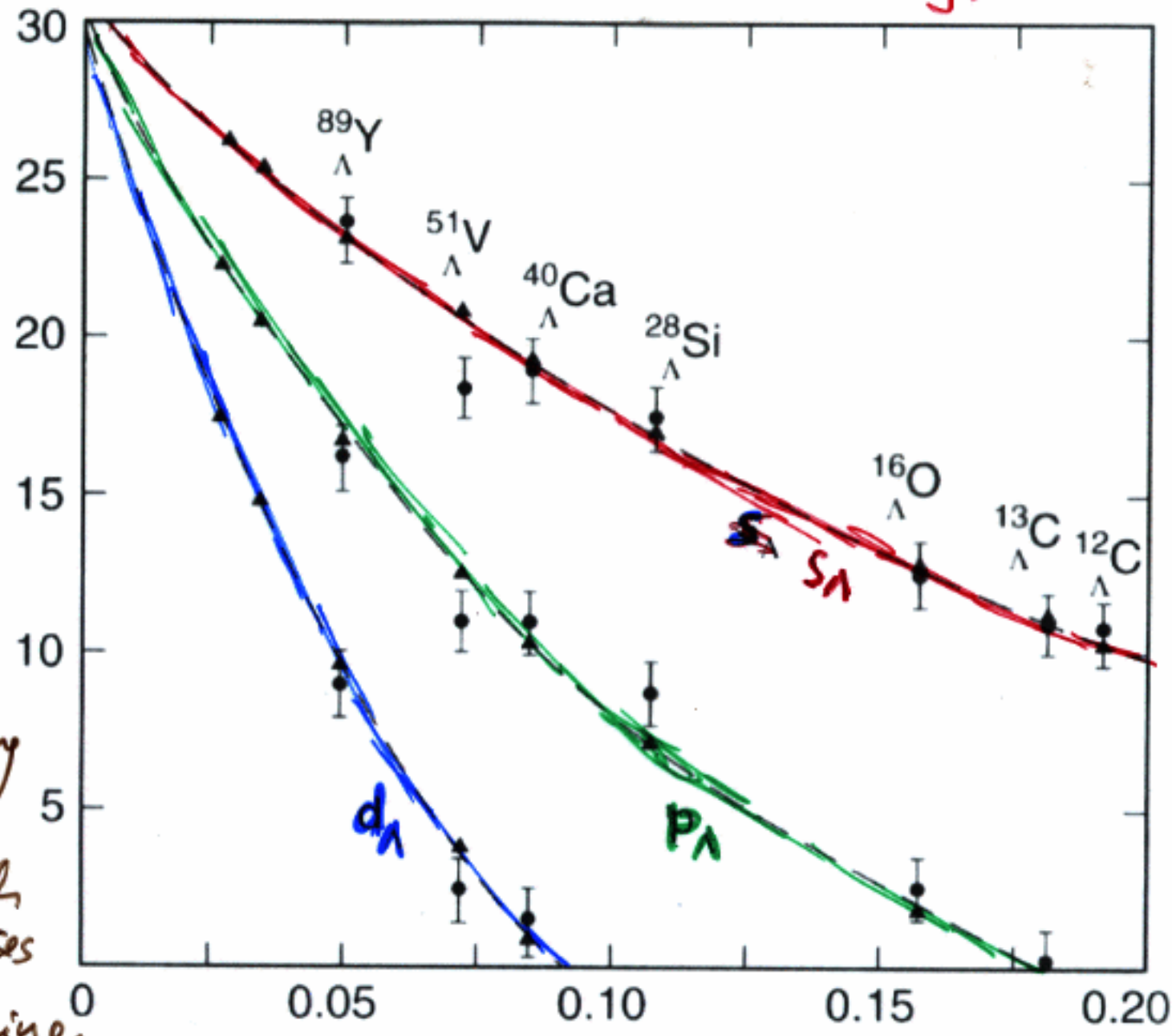
ca 1 km dicke Kruste aus Atomen im festen Aggregatzustand.

Realistisches Modell: im Kernzentrum so hohe Dichten, dass sich die „hard cores“ der Neutronen berühren $\Rightarrow \frac{1}{2}$ Fermi-Druck, $\frac{1}{2}$ $\bar{S}\bar{S}$ -Abstoßung



schwere Hyperkerne

B_Λ [MeV]



Linien:
Fermi-Gas-Modell;
 Λ in
Einteilchen
s, p, d-
Zuständen

Messungen in
herausragender
Übereinstimmung
mit Modell: ✓

Λ bewegt sich
wie ein freies

Teilchen in einem

Potentialtopf, obwohl Kern dicht gepackt ist... $A^{-2/3}$

Das Schalenmodell

Hypokerne: definierte Energieniveaus für Λ -Baryonen.

→ auch für Nukleonen gültig!

Analog zum Atom: Elektronen im Zentralpotential des Kerns
hier: Nukleonen im "mean field" aller Nukleonen

Atom: Schalenstruktur

Kern: auch ... besonders stabil sind Kerne mit Z oder N
aus $(2, 8, 20, 28, 50, 82, 126)$ „magische Zahlen“

Doppelt magische Kerne:

4	He ₂
2	
16	O ₈
8	
40	Ca ₂₀
20	
48	Ca ₂₈
28	
208	Pb ₁₂₆
82	

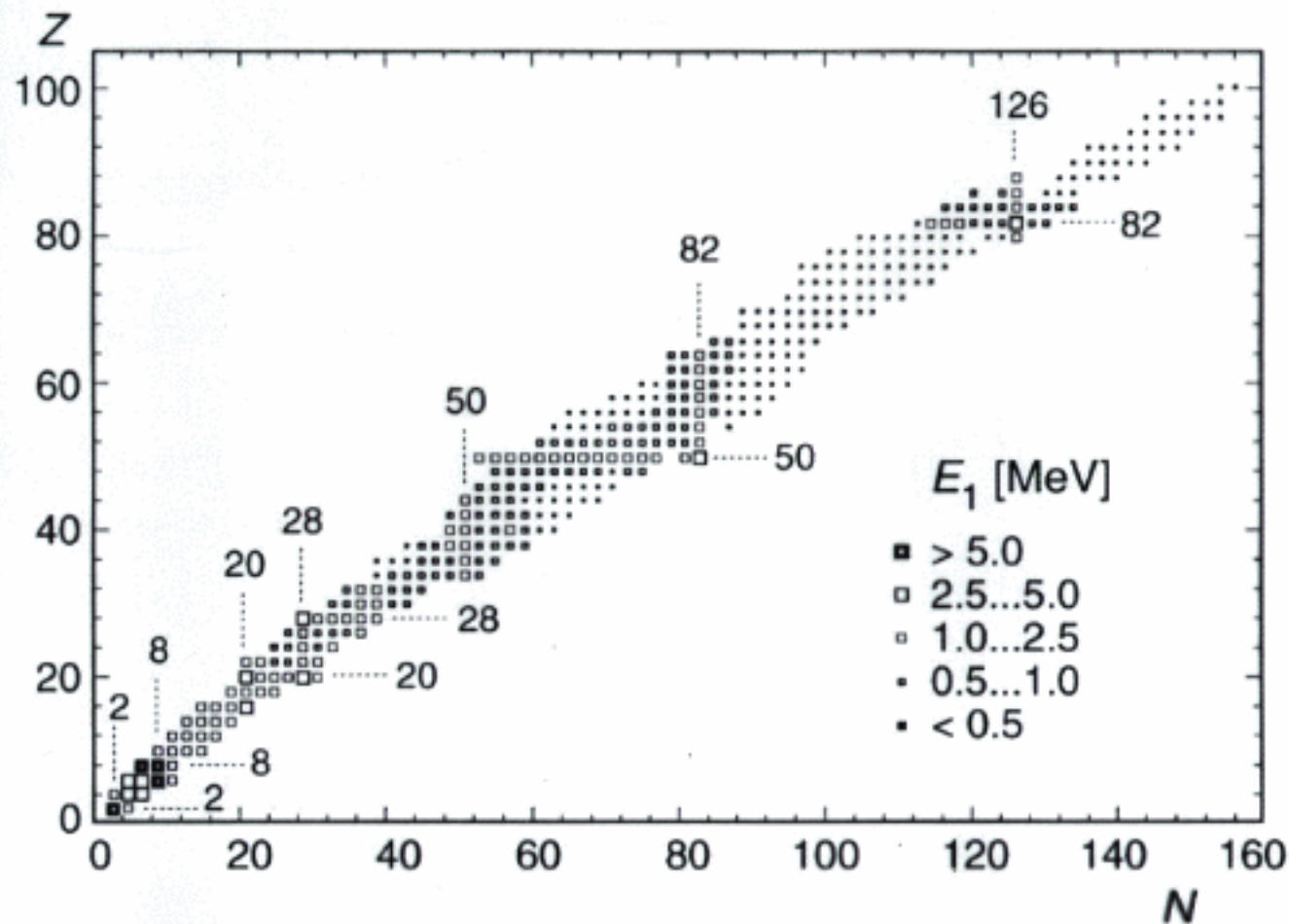


Abb. 17.5. Energie E_1 des ersten angeregten Zustands in gg-Kernen. In Kernen mit „magischer“ Protonen- oder Neutronenzahl ist diese Anregungsenergie besonders groß. Die angeregten Zustände haben üblicherweise die Quantenzahlen $J^P = 2^+$. Ausnahmen sind die ersten angeregten Zustände in ${}^4_2\text{He}_2$, ${}^{16}_8\text{O}_8$, ${}^{40}_{20}\text{Ca}_{20}$, ${}^{72}_{32}\text{Ge}_{40}$ und ${}^{90}_{40}\text{Zr}_{50}$ (0^+) sowie in ${}^{132}_{50}\text{Sn}_{82}$ und ${}^{208}_{82}\text{Pb}_{126}$ (3^-) und in ${}^{14}_6\text{C}_8$ und ${}^{14}_8\text{O}_6$ (1^-). Weiter entfernt von den „magischen“ Zahlen wird E_1 klein, mit fallender Tendenz, je schwerer der Kern wird (Daten aus [Le78]).

Eigenzustände im Kernpotential

$$\Psi_{nlm}(\vec{r}) = R_{nl}(r) \cdot Y_l^m(\theta, \varphi)$$

\uparrow Zahl der Knoten + 1
 \uparrow Bahndrehimpuls

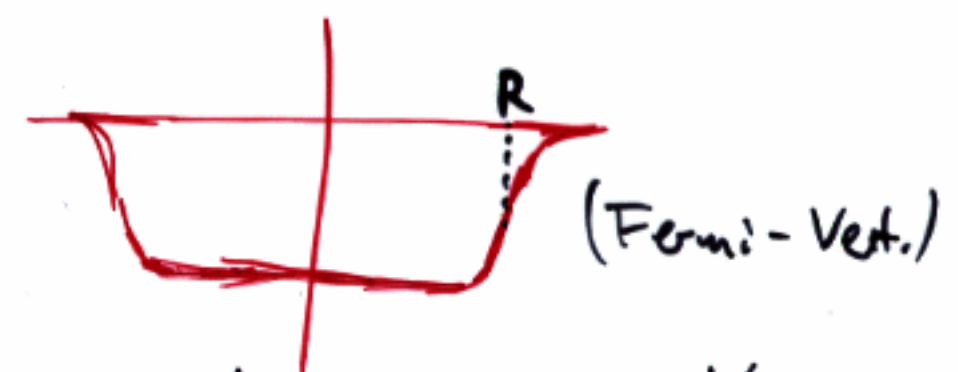
Energie unabhängig von m
 $= [-l \dots l]$
 Parität $(-1)^l$

n, l -Niveaus $2 \cdot (2l+1)$ -fach entartet.



Gauss-förmig für leichte Kerne $A \leq 7$
 \Rightarrow harmonischer Oszillator $E = (N_x + N_y + N_z + \frac{3}{2}) \cdot \hbar \omega$
 $N = 2(n-1) + l$

Woods-Saxon-Potential für schwere Kerne:

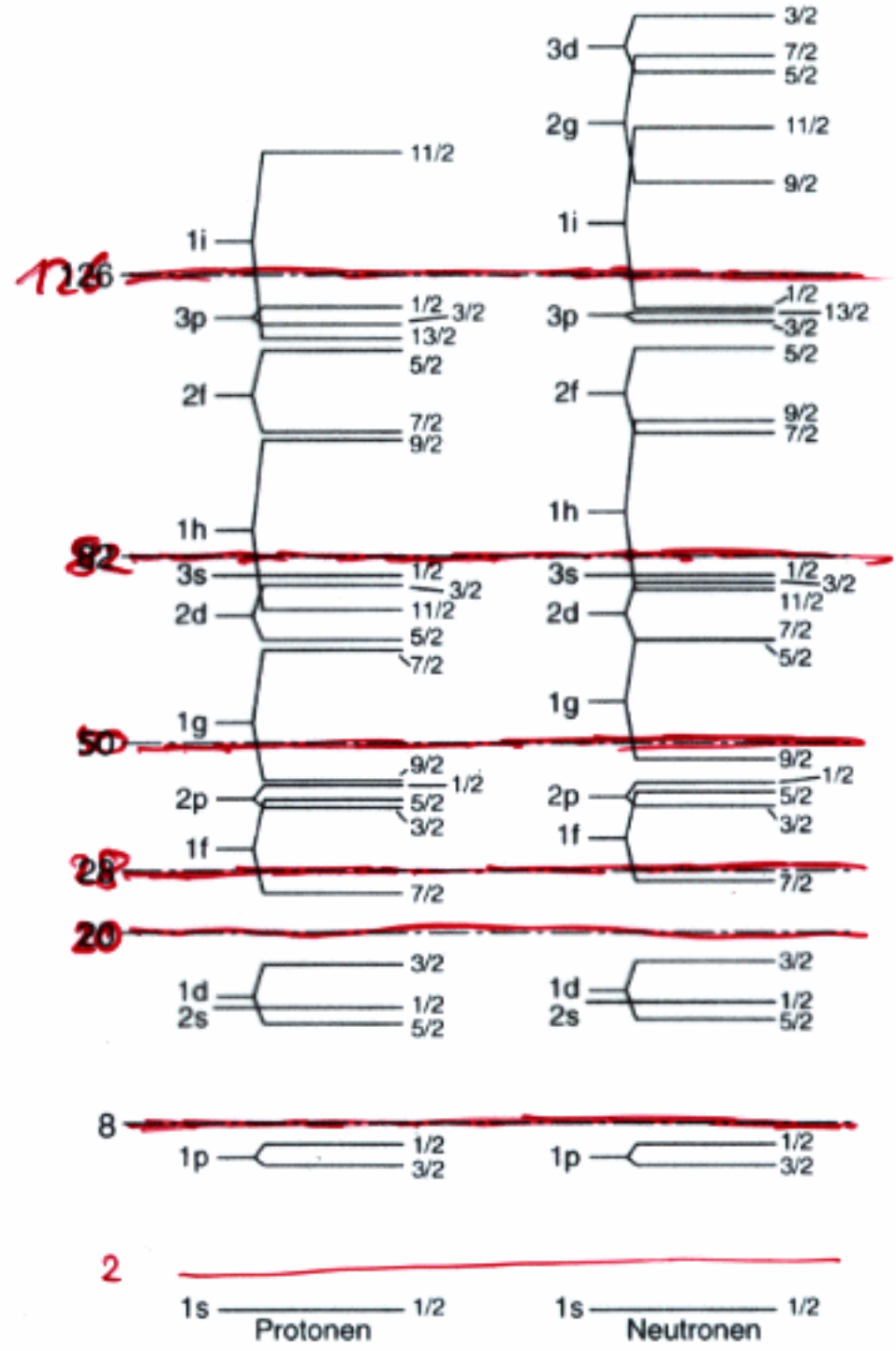


$$V_{\text{zentral}}(r) = \frac{-V_0}{1 + e^{\frac{r-R}{a}}}$$

$n-l$ -Entartung aufgehoben:
 erste 3 magische Zahlen (2, 8, 20) erklärbar.

Inkl. Spin-Bahn-WW können mag. Zahlen erklärt werden...

magische Zahlen
 besonders großer
 Abstand zum
 nächsten
 Anregungszustand.



Keine mit
 magischen Zahlen
 haben magn.
 Moment $\mu = 0$
 (weil Nukleonen
 in abgeschlossener
 Schale zu $J=0$
 koppeln)

Hat man ein
 zusätzliches
 Nukleon (Länder-
 nukleon), ist μ
 von dem gegeben.
 Fehlt gerade eines,
 verhält es sich
 wie ein "Loch".